

大規模画像に対する細線化アルゴリズム のパイプライン方式による効率化

An Efficient Thinning Algorithm for Large Scale Images
Based upon Pipe-line Structure

中山 晶 木村文隆

Akira NAKAYAMA Fumitaka KIMURA

吉田雄二 福村晃夫

Yuuji YOSHIDA Teruo FUKUMURA

(名古屋大学工学部 : Faculty of Engineering, Nagoya University)

Abstract

In this paper, we propose an efficient thinning algorithm for large scale images based upon pipe-line structure. This algorithm is derived from conventional thinning algorithms with a few modifications. Then thinned image is equivalent to that of the original conventional algorithm.

The algorithm was applied to several images and compared its performance with those of conventional algorithms. From experimental results, it was shown that our algorithm is more efficient than conventional ones.

1 まえがき

大規模な画像データを細線化する場合、通常とられる方法として、画像を幾つかの領域に分割して各領域毎に処理を行い、その後でそれぞれの処理結果をけり合わせる方法⁽¹⁾がとられたり、画像を格納するための2つの補助記憶ファイルを設けて、2つのファイル間に細線化処理を行うためのバッファ領域を設け、画像データをバッファを通してファイル間を往復させるという手法⁽²⁾がとられる。しかし、これらの手法だけ、処理手順が煩雑になったり、主記憶と補助記憶間の転送回数が多くなるため処理時間のオーバーヘッドが増大するなど有効な方法とは言い難い。

一方、このような難点を改良した大規模画像データに対する効率的細線化法にWoetzel の方法⁽³⁾やその他の方法⁽⁴⁾があるが、用いられる細線化アルゴリズムが特殊なため、処理に要する反復回数が多くなり、細線化結果が十分に優れたものでないなどの欠点が見られる。

本論文では、与えられた画像に含まれる图形の幅の上限があらかじめ知ら

れている場合に、その幅の半分よりやや広い幅の範囲を処理対象として画像を一方に向かって一度走査することで完全な細線化图形が得られる方式を提案する。

この方式（以下では、処理対象となる部分を保持する領域をパイプとみてパイプライン方式と呼ぶ）は、従来の画像全体を何度も走査する種々の方法に比べて、処理時間が短縮されると共に必要な主記憶容量が大幅に削減される。従来の細線化アルゴリズムはある条件を満せば、この方式のアルゴリズムに変更することが容易に可能であり、適用範囲の広い手法となっている。

本方式の採用により、従来通常の手段では不可能とみられていてミニコンや最近の 16 bit マイクロ・プロセッサといった高機能小型計算機で従来のアルゴリズムの性質を保存した形で手軽に大規模画像が扱えるようになる。特に、本方式は、ファクシミリなどラスター走査型装置から走査線データを逐次与えられて実時間で処理を行う装置に極めて有効な手法となっている。

以下、更に本方式が適用可能な基本となる細線化アルゴリズムの性質

について述べ、次いで3で本方式のアルゴリズムとその正当性について述べる。4で本方式によるアルゴリズムのソフトウェア実現とそれに基づく従来のアルゴリズムとの比較実験の結果を示す。最後に、5で今後の課題を述べる。

Ⅱ 細線化アルゴリズムの性質

逐次型で一定方向走査型の細線化アルゴリズムだけ、一回の画面走査で图形境界を一画素分だけ全方向から消去するため、消去に要する走査回数（サイクル数）は、画像中の图形の（ \neq 連結の意味での）最大線幅を W とする $R = \lfloor W/2 \rfloor$

で与えられる。このよう分型のアルゴリズムとしては Hilditch のアルゴリズム⁽⁵⁾、鶴岡のアルゴリズム⁽⁶⁾などがある。これらのアルゴリズムでは、細線化に際して、 3×3 のマスクにより画像 $A_i = \{a_{ij}\}$ をラスター走査マスクの中央点 a_{ij} をその 8 近傍状態によって分類しながら消去条件を満す画素を消去するという逐次型局所変換 $a_{ij} = f(a_{ij})$ を施すことによって連結した心線を得ている。

この型のアルゴリズムの特徴は、逐次型の長所を最大限に活用配慮がアルゴリズムの構成でされている一方で、图形境界の判定には一回前の処理値を併用することでのバス全方向消去を可能にしている点にある。

この型のアルゴリズムだけ、画像 A_i は全て主記憶上にあるとしている。寸法が N 行 L 列の画像 A_i の i 行の画素列を

$$a_i = (a_{i1}, a_{i2}, \dots, a_{iL}) \\ ; (i=1, 2, \dots, N)$$

で表し、画素列 a_i に対する

変換を下 (a_i) と表すことにして、画素列 a_i は最終的な細線化結果を得るために終了判定走査を含めて $(R+1)$ 回の変換下を要する。すなわち、これは画面走査の結果、全画面上で图形が全く変化しなくなったらヒキにアルゴリズムが停止するとしているためである。この変換下は、 a_{i-1} と a_{i+1} の値を参照しながら実行される。

Ⅲ パイオライン方式による細線化

3-1 アルゴリズム

細線化を行うため、画像 A_i に対して FIFO 型のバッファ領域、

$$B = \{b_{ij} | 0 \leq i \leq R+1, 0 \leq j \leq L+1\}$$

を図1のように設定する。すなわち、 B の各行を b_0, b_1, \dots, b_{R+1} で表す。

以下に、ここで提案するパイオライン方式による細線化アルゴリズムを示す。

このアルゴリズムでは、画像 A_i は行単位で逐次バッファに読み込まれ、マスクの走査を伴う F 変換を B 内のみで原アルゴリズムとは逆方向に行いながら細線化結果を行単位でバッファから取出するという方式となる。

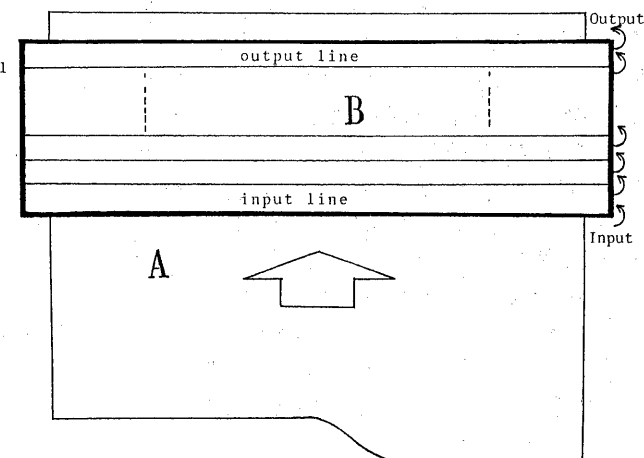


図1 バッファの設定

[アルゴリズム]

Step 1 (初期化) $r \leftarrow 1$ とし, IB 内の全ての要素を 0 とする。

Step 2 (データの入力) IB 内の一番目の行 lb_0 へ画像のオフ行目 a_r を読み込む。このとき, A の最終行 a_N が既に読み込み済みなら, IB 内のデータを逐次掃き出でため $lb_0 = (0, 0, \dots, 0)$ とする。

Step 3 (逐次的下変換) IB 内における次の各行

$$lb_1, lb_2, \dots, lb_R$$

に対して, この順に下変換を適用し, 変換により r 変化しない行があればそこで変換を終了する。

Step 4 (データの出力) IB の最上位の行 lb_{R+1} の内容を細線化結果として出力する。このとき, lb_{R+1} の内容が, Step 1 における初期値の 0 要素列の場合に出力しない。

Step 5 (データの転送) IB 内の各行の内容を

$$lb_{i+1} \leftarrow lb_i \quad (i = 0, 1, 2, \dots, R)$$

として全体を一段上へシフトする。

Step 6 (終了の判定) A の行データが IB 内に存在しなければ, アルゴリズム終了。そうでなければ, 次のデータを読み込みため, $r \leftarrow r+1$ して再び Step 2 以下を実行。

このアルゴリズムでは, A の全ての行要素列 C , バッファ IB の最下位行に入力され, 順次上の行へシフトされて最上位行に達して出力されるまでに, 最大 R 回の下変換を施され, 最終的な細線化結果を得る。

原アルゴリズムが画面中で图形の変化がなくなるまで 全ての行要素 a_i は必ず $(R+1)$ 回の下変換を必要とした のに対し, 本アルゴリズムでは, 最大線幅を扱う部分が入力されたときのみ IB 内の範囲で最大 R 回の下変換が行われる。従って, 入力されるデータ

の状態によると, バッファ IB 中のデータに対する下変換は 最小 1 回, 最大 R 回 で済むことになる。

ここに, IB は連続レコードデータの系列 (a_1, a_2, \dots, a_N) に対して, IB 内を通過する線幅に応じて R 個のプロセッサが働く一種のパイプラインヒミングであることがある。このアルゴリズムでは, 線幅 R によって, r する遅れ時間で行単位の処理結果が得られる。この時間差隔が極めて小ければ, スキャナーなどの標本化時間を伴う待ち時間を利用できるため実時間処理を効率的に行うことができると考えられる。

対象画像が線状画像であれば, 画像の一辺の長さに比べて R は十分小さい値となることから, バッファ IB の大きさだけにのみ依存した線形増加となり, 原アルゴリズムを直接に実行するときの主記憶容量に比べて大幅な記憶容量の削減が可能となっている。

3.2 アルゴリズムの正当性

ここでは, 前節のアルゴリズムの正当性の概略について述べる。すなわち, 本方式によるアルゴリズムの実行結果が基本となる原アルゴリズムの実行結果と同一となることを示す。

正当性の証明に先だつて, 次のような準備を行う。画像 A とバッファ IB は図 2 に示すような関係で,

$$A = (a_1, a_2, \dots, a_N)$$

$$B = (lb_0, lb_1, \dots, lb_{R+1})$$

なる行単位の列として表われているものとし, 基本となるアルゴリズムで R 回目の処理が終った後のオフ行(画素列)の内容を $a_i^{(R)}$ で表す。また以下では, $a_i^{(0)} \triangleq a_i \quad (i = 1, 2, \dots, N)$

とする。さらに, 任意の行 C が, その上の行 b , その下の行 d の状態で下変換されて結果 a となるとき, これを

$$a = F(C | b, d)$$

のようになります。この記法を用いれば、基本となるアルゴリズムの逐次処理の各段での処理結果について、次の性質が成立します。

- (i) $\alpha_i^{(n)} = F(\alpha_{i-1}^{(n-1)})$
 $\alpha_{i-1}^{(n)}, \alpha_{i+1}^{(n-1)}$
- (ii) 任意の b_i, d_i について
 $D = F(D|b_i, d_i)$
- (iii) 画像 A に対するアルゴリズムのサイクル数が R のとき
 $\alpha_i^{(n+1)} = \alpha_i^{(n)} (n \geq R)$

ここで、 $i = 1, 2, \dots, N$ および $n = 1, 2, \dots, R$ で、
あり、 b_i, C, d_i は任意の
画素列、 D は

$$(0, 0, \dots, 0)$$

なる D 要素の画素列である。また、正当性の証明を簡潔にするため前節のアルゴリズムの Step 3 の下変換は b_1, b_2, \dots, b_R なる全ての行に対しても適用されるものとする。

[証明の概略]

初めに、バッファに画像がオフ1行(最下位行)から逐次読み込まれ、本アルゴリズムによる処理が進み、バッファの最上位行(b_{R+1})に画像のオフ1行に対する処理結果が入ってきて、走査を終了し、その行を出力しようとしている時を考える。

この状態で、バッファの内容は、次のようになっていることが知られる。

$$b_{R+1} = \alpha_1^{(R)}, b_i = \alpha_{R-i+2}^{(i)} \\ ; (i=0, 1, 2, \dots, R) \quad (1)$$

すなわち、バッファの最上位行は、対応する画像の行の R 回の走査後の内容に一致し、バッファの各行

$$b_i (i=0, 1, \dots, R) \text{ の内容は},$$

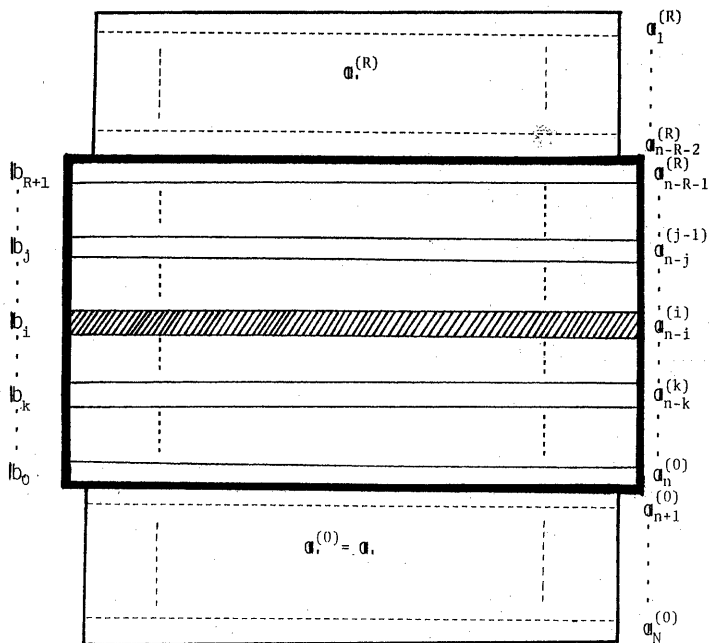


図2 バッファの位置と処理内容
(行 b_i に対する走査が終了した直後の状態)

現在処理対象ヒダリ、ている画像の行に対する i 回の走査終了時の内容に一致している。このことから、バッファの内容はその初期状態(オフ1回目の走査を開始する直前)で、

$$(\alpha_2^{(0)}, \alpha_1^{(0)}, \emptyset, \emptyset, \dots, \emptyset)$$

となる。ていて、オフ1回目の走査(下変換)で性質(i)により $\alpha_1^{(0)}$ が上位行 \emptyset 、下位行 $\alpha_2^{(0)}$ の状態で、

$$(\alpha_2^{(0)}, \alpha_1^{(0)}, \emptyset, \dots, \emptyset)$$

となる。次に b の内容の上位シフトヒダリ $\alpha_3^{(0)}$ の b_0 への読み込みにより

$$(\alpha_3^{(0)}, \alpha_2^{(0)}, \alpha_1^{(0)}, \emptyset, \dots, \emptyset)$$

となり i 回目の走査で、性質(ii)から、

$$(\alpha_3^{(0)}, \alpha_2^{(0)}, \alpha_1^{(0)}, \emptyset, \dots, \emptyset)$$

となる。以下同様に進めていくだけ、式(i)のようになることは容易に知られる。このことから、本アルゴリズムにより出力されるオフ1行の値は、 $\alpha_1^{(R)}$ であることが知られる。

次に、処理が進み、バッファが画像のオフ行からオフ - R - 1 行に対応す

る内容を保持（図2の状態）していく、それらに対する走査（下変換）を終了した時点で、バッファの内容について

$$lb_R = \alpha_{n-R-1}^{(R)}, lb_i = \alpha_{n-i}^{(i)}$$

$$; (i = 0, 1, 2, \dots, R) \quad \dots \quad (2)$$

が成り立っているとする。すなわち、バッファの内容と、対応する画像の部分に対する処理内容とについて式(1)と同様の関係が成り立っているとする。

この時、次のオル+1行からオル-R行の処理に移ると、オル-R-1行の処理結果が出力され、内容が1行分シフトされて、オル+1行目が読み込まれるために、バッファの内容は、

$$lb_i = \alpha_{n-i+1}^{(i-1)}, lb_0 = \alpha_{n+1}^{(0)} \\ ; (i = 1, 2, \dots, R+1)$$

となる。この状態でバッファの各行(lb_1, lb_2, \dots, lb_R)に対する下変換を施すとその内容は性質(i)から、

$$lb_{R+1} = \alpha_{n-R}^{(R)}, lb_i = \alpha_{n-i+1}^{(i)}$$

$$; (i = 0, 1, 2, \dots, R) \quad \dots \quad (3)$$

となり、やはり同様の性質が保存されることが知られる。

以上の事から、本アルゴリズムにより出力される結果は、画像の全ての行について $\alpha_i^{(R)} (i = 0, 1, 2, \dots, R)$ となって基本となるアルゴリズムの実行結果と同一となる。（証明終り）

なお、この証明にあたって、前節のアルゴリズムのstep3における下変換区 lb_1, lb_2, \dots, lb_R がる全ての行に適用することを前提としたが、これは性質(iii)を忠実に適用したことからである。実際にには、ある段でのバッファ内の走査でバッファのオル行以上の各行($lb_1, lb_{i+1}, \dots, lb_{R+1}$)

が全く変化せず、かつバッファの内容の上位シフト後の走査で、オル行(lb_i)が変化しないならば、その段での $lb_{i+1}, \dots, lb_{R+1}$ もやはり変化しないことが言える。この性質を利用すれば、前段でのバッファの内容が変化しなくなつた位置（上述のレの値）を記憶しておけば、走査をバッファ全体に対して適用しないで途中で打ち切ることが可能となる。3.1に述べたアルゴリズムはこの性質に基づいている。

また、厳密には、上述の証明に、バッファの内容が、画像の下位部分($R+2$ 行未満)を含んでいる状態、すなわち、

$(\emptyset, \dots, \emptyset, \alpha_n^{(0)}, \alpha_{n-1}^{(1)}, \dots, \alpha_{n-k}^{(k)})$ という状態にある場合についても触れる必要があるが、同様の方法で扱えるので証明を簡略にするため省略した。

4 アルゴリズムの実現と比較実験

前章の方針による Hilditch のアルゴリズムを FORTRAN 言語でソフトウ

表1 比較実験の結果

項目	大きさ (最大線幅)	アルゴリズム (* 本方式による)	記憶容量 (K Byte)	バッファ ライン数	時間 (Sec)	
					CPU	1ライン
道路 線図	1200	Hilditch*	36	4	143.4	0.12
	X 2048 (5)	Tsuruoka*	36	4	122.7	0.10
		Woetzel	63	8	903.7	0.75
気象 図	500	Hilditch*	33	12	242.9	0.48
	X 500 (20)	Tsuruoka*	33	12	180.0	0.36
		Woetzel	53	23	1535.9	3.07

(注) 使用計算機 FACOM 230-38

を実現した。実現にあたって、バッファBを図3に示すようシリニンダー状データ構造で表現するとして、Step5のデータ転送を不要にするよう構成した。実現してプログラムはステップ数約90行、プログラム領域約17KByteで実現されている。実現したプログラムの例を付録に示す。

Hilditchアルゴリズムの他、逐次型の一方向走査型アルゴリズムである鶴岡のアルゴリズムを本方式で同様に実現し、Woetzelのアルゴリズムと共に比較実験した結果を表1に示す。なお表での実行記憶容量はプログラム領域も含んだ容量である。

この結果から、本方式による結果がWoetzelの方法よりも実行記憶容量で約1.7倍、実行時間で約6.3倍の効率化が示されている。この結果は、Woetzelのアルゴリズムでは、1Bの大きさ(1方向)が(W+3)の大きさを必要とし、細線化がマスク・パターンのマッチングを基本とする処理を行っている

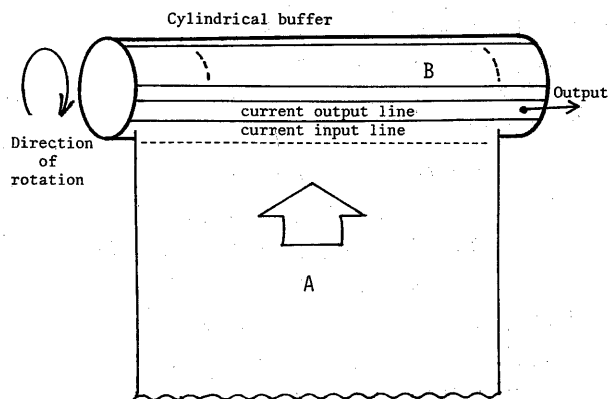


図3 シリンダー状データ構造

ためと考えられる。

また、Hilditchのアルゴリズムより鶴岡のアルゴリズムの方が実行時間の点で優れているが、これは原アルゴリズムより周辺雜音消去の部分を省いて実現を行っているためであり、線幅が大きい場合は不要な枝成分が多数発生する。しかし、線幅が十分小さい場合には少なく最も効率的となる。

本方式による1ライン当たりの平均処理時間は、Hilditchの場合0.30(秒)

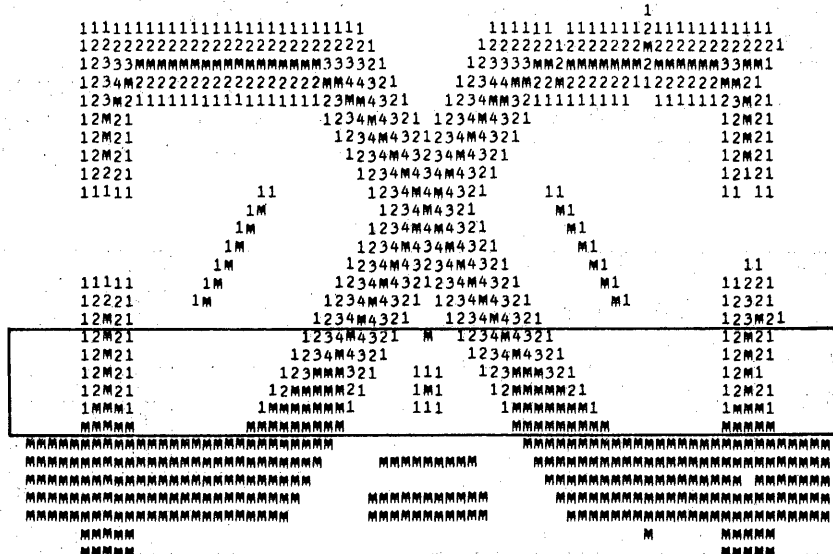


図4 本方式による処理過程の例

鶴岡の場合 0.23(秒) となりスキヤナーナなどの標本化時間を伴う待ち時間に十分追跡可能が値とされている。この通り、本方式によるアルゴリズムの実現が行平素列の 0, 1 パターンをそのまま走査するという方式をとったためであり、1 素要素の位置の記憶ヒツの数をカウントする IBM 同じ大きさの領域を別に設けて IBM と連動させれば、線状画像で 1 素要素に比べての素要素が圧倒的に多い特徴をもつことから更に高速処理が可能であり、並列化を考慮したハードウェア化を含めて十分実用的な値になると考えられる。ちなみに、本方式による鶴岡のアルゴリズムを 1 素要素のみにアクセスする方法で表 1 の道路線図に対して実行した所、処理時間 110.8 秒であり 1 ライン当たり、0.09 となり、表 1 の結果に比べて 2.5 倍の効率化となり、いる。

なお、本方式による原アルゴリズムの実行と修正を加えない原アルゴリズムとの実行を表 1 の気象図に対して比較した所、記憶容量で約 17 倍、処理時間で約 1.5 倍の効率化となっている。

一方、本方式による Hilditch アルゴリズムの処理過程の例を図 4 に示す。図 4 は、直線で囲った部分がバッファの内部を表してあり、この段階での下変換が終了した時点を示している。ここに、画素に対応する数字は、その画素がバッファ内の何段目の走査で消去されたかを示す番号 (bin の i) を表しており、原アルゴリズムのサイクル数に直接対応している。この結果からもバッファより出力された細線化結果だけ修正を加えない原アルゴリズムの処理結果と等価な結果を与えていていることが知られる。このようや結果は、本方式による鶴岡のアルゴリズムでも得られており、本方式が原アルゴリズムの性質を保存した通用範囲の広い手法であることを示している。

5 むすび

既存の細線化アルゴリズムをパイプライン方式に修正することにより効率よい処理が行われる手法を提案した。本方式による細線化アルゴリズムの実行は、従来提案された効率的細線化法である Woetzel の方法よりも効率的で、すなは通用範囲の広い手法であることを幾つかの実験結果によって示した。

本方式による原アルゴリズムの実行は細線化処理ばかりではなく局所反復型処理を行う一般的の画像処理アルゴリズム⁽²⁾にも適用可能であると考えられる。アルゴリズムの一般化を含めた理論的検討と本方式による通用ならびにその応用などは残された課題である。

謝辞 曰頃、御指導賜る豊橋技術科学大学本多波雄教授ならびに本学福垣康喜教授および本稿をまとめるに当り有益な助言をいただいた本学横井茂樹助教授に深謝する。また、Woetzel のアルゴリズムに関する文献の提供をいただいた静岡大学鈴木智氏に感謝します。

(参考文献)

- (1) Tamura, H: "Image database management for pattern information processing studies" Lecture Notes in Computer Science, Ed. Goos, G., Hartmann, J., PP. 198-227 (1980)
- (2) 坂井、吹抜: "パターン認識装置の基本設計", 信学会, オートマトンと自動制御研究資料 (1961)
- (3) Woetzel, G; "A Fast and Economic Scan-to-line Conversion Algorithm", SIGGRAPH, 12, 13, PP. 125-129 (1978)
- (4) 岡田他: "水平、垂直線要素の分類を用いた線順序形細線化法", 信学論 Vol. J64D-No.5, PP. 403-410 (1981)
- (5) 田村: "細線化法についての諸考観" 信学研究資料, PRL75-66, PP. 49-56 ('75)
- (6) Hilditch, C. J.: "Linear skele-

ton from square carboard", in
Machine Intelligence 6, B.
Meltzer & D. Michie, Eds.
Univ. Press Edinburgh, PP
403-420 (1969).

(7) 鶴岡他：“ディジタルスビューフィルムの
一組線化法”, 信学研報, PRL 7P-47,
PP 41-49 (1978)

(8) 高橋他：“画像処理のアルゴリズム”, 情報処理, Vol. 21, No 6, pp.
613-619 (1980)

(9) 大下他：“ドット型画像入力装置
の性能評価実験”情報処理研究, ノ
ンピュータ・ビジョン8-5, pp.
1-8 (1980)

(付録) SUBROUTINE SLIM8H(NR,NW,IBUF,LEND,K)

```

C ****
C *          ** PARAMETER CONTENTS   **
C *
C *      NR ----- IDENTICAL NUMBER OF INPUT FILE
C *      NW ----- IDENTICAL NUMBER OF OUTPUT FILE
C *      IBUF ----- RASTER BUFFER (SIZE = LEND*K)
C *      LEND ----- LENGTH OF LINE-DATA (WORD NUM.) + 2
C *      K ----- HALF VALUE OF MAXIMUM LINE WIDTH + 2
C *
C ****
C      INTEGER IBUF(LEND,K),NA(9),NB(9),R
C      DATA NPK,NUM,MAX/0,0,1/
C
C -----
C      NP=K-2
C      NSP=-1
C      NSK=2*NSP-1
C      LED=LEND-1
C      DO 10 J0=1,K
C      IBUF(1,J0)=0
C 10   IBUF(LEND+J0)=0
C      DO 20 I0=2,LED
C 20   IBUF(I0,NSP)=0
C
C =====
C      NP=NP+1
C      JP=MOD(NP,K)+1
C      IF (NPK.NE.0) GO TO 40
C #####
C      READ(NR,END=40)
C      + (IBUF(IP,JP),IP=2,LED)
C #####
C      GO TO 60
C 40   NPK=NPK+1
C      DO 50 IP=2,LED
C      IBUF(IP,JP)=0
C 50   CONTINUE
C 60   LMAX=0
C      DO 160 R=1,MAX
C      ID=0
C      JP=R
C      IF (JP.LE.0) J=J+K
C      JP1=MOD(J,K)+1
C      JM1=J-1
C      IF (JM1.EQ.0) JM1=K
C
C -----
C      DO 150 I=2,LED
C      IF (IBUF(I,J).LE.0)
C      + GO TO 150
C      NA(1)=IBUF(I+1,J)
C      NA(2)=IBUF(I+1,JM1)
C      NA(3)=IBUF(I,JM1)
C      NA(4)=IBUF(I-1,JM1)
C      NA(5)=IBUF(I-1,J)
C      NA(6)=IBUF(I-1,JP1)
C      NA(7)=IBUF(I,JP1)
C      NA(8)=IBUF(I+1,JP1)
C      DO 80 M=1,8
C      IF (NA(M).NE.-R)
C      + GO TO 70
C      NA(M)=1
C      NB(M)=0
C      GO TO 80
C 70   IF (NA(M).LT.0) NA(M)=0
C      NB(M)=NA(M)
C 80   CONTINUE
C      NA(9)=NA(1)
C      NB(9)=NB(1)
C
C -----
C      N4=NA(1)+NA(3)+NA(5)+NA(7)
C      IF (N4.EQ.4) GO TO 150
C      NP8=0
C      NS8=0
C      DO 90 M=1,8
C      IF (NA(M).EQ.1) NP8=NP8+1
C      IF (NB(M).EQ.1) NS8=NS8+1
C 90   CONTINUE
C      IF (NP8.LE.1) GO TO 150
C      IF (NS8.EQ.0) GO TO 150
C      NC=0
C      DO 100 M=1,4
C      NC=NC+(1-NA(M*2-1))*  

C      + MAX0(NA(M*2),NA(M*2+1))
C 100  CONTINUE
C      IF (NC.NE.1) GO TO 150
C      IF (IBUF(I,JM1).NE.-R)
C      + GO TO 120
C      NA(3)=0
C      NC=0
C      DO 110 M=1,4
C      NC=NC+(1-NA(M*2-1))*  

C      + MAX0(NA(M*2),NA(M*2+1))
C 110  CONTINUE
C      IF (NC.NE.1) GO TO 150
C      NA(3)=1
C 120  IF (IBUF(I-1,J).NE.-R)
C      + GO TO 140
C      NA(5)=0
C      NC=0
C      DO 130 M=1,4
C      NC=NC+(1-NA(M*2-1))*  

C      + MAX0(NA(M*2),NA(M*2+1))
C 130  CONTINUE
C      IF (NC.NE.1) GO TO 150
C 140  ID=1
C      IBUF(I,J)=-R
C 150  CONTINUE
C -----
C      IF (ID.EQ.0) GO TO 160
C      IF (R.GT.LMAX) LMAX=R
C 160  CONTINUE
C      MAX=LMAX+1
C      IF (NP.LE.NSK) GO TO 30
C      J0=MOD(JP,K)+1
C #####
C      WRITE(NW)
C      + (IBUF(I0,J0),J0=2,LED)
C #####
C      IF (NPK.EQ.NSP) RETURN
C -----
C      GO TO 30
C END

```

(注)
このプログラムでは、消去
画素に対応する配列要素に
負の値が入る
ため、必要で
あれば出力直
前に負の値を
0に変換する
後処理を行う。
なお、連結心
線に対応する
要素は全て1
の値にして保
存される。